



## การศึกษาการเกิดไฮโดรไลซิสโดยเบสของไตรอะซิตินโดยระเบียบวิธีเชมิเอมพิริคัล และเดนชิตี้ฟังก์ชันนัล

ไกรวน พัญญาอินทร์<sup>a,\*</sup>, ทวีธรรม ลิมปานุภาพ<sup>b</sup>, จงกล จาจุกทรากร<sup>b</sup> และ ยุทธนา ตันติรุ่งโรจน์ชัย<sup>b</sup>

### Semiempirical and DFT Investigations of the Alkaline Hydrolysis of Triacetin

Kraiwan Punyain<sup>a,\*</sup>, Taweetham Limpanuparb<sup>b</sup>, Jonggol Jarupathakorn<sup>b</sup>

and Yuthana Tantirungrotechai<sup>b</sup>

<sup>a</sup>ภาควิชาเคมี คณะวิทยาศาสตร์ มหาวิทยาลัยราชภัฏอุบลราชธานี 65000

<sup>b</sup>ศูนย์วิจัยด้านพลังงานทางเลือก และภาควิชาเคมี คณะวิทยาศาสตร์ มหาวิทยาลัยมหิดล ราชเทวี กรุงเทพ 10400

<sup>a</sup>Department of Chemistry, Faculty of Science, Naresuan University, Muang, Phitsanulok 65000, Thailand.

<sup>b</sup>Center Alternative Energy and Department of Chemistry, Faculty of Science, Mahidol University, Bangkok 10400, Thailand.

\*Corresponding author. Email address: kraiwanp@nu.ac.th (P. Kraiwan)

Received 30 April 2007; accepted 4 December 2007

The results of this paper were presented in part at The Third Naresuan University Research Conference, Phitsanulok, Thailand during 28–29 September 2007

#### บทคัดย่อ

ระเบียบวิธีเดนชิตี้ฟังก์ชันนัล (density functional theory, DFT) B3LYP/6-31++G(d,p) และแบบจำลองเชมิเอมพิริคัล (semiempirical model) ชนิด RM1 และ PM6 ถูกนำมาศึกษาปฏิกิริยาการเกิดไฮโดรไลซิสของไตรอะซิตินโดยมีเบสเป็นตัวเร่งปฏิกิริยา ไม่เลกูลไตรอะซิตินเป็นโมเลกุลแบบจำลองของสารกลุ่มไตรอะซิลโกลีเซอไรด์ดังเช่นที่พบในน้ำมันพืช โดยทำการศึกษาพลังงานที่เกี่ยวข้อง ในปฏิกิริยาแต่ละขั้นตอนย่อยของการไฮโดรไลซิสรวมถึงศึกษาแต่ละวิธีทางย่อยที่เป็นไปได้ เมื่อพิจารณาในทางเทอร์โมไดนามิกส์ พบว่า การเกิดไฮโดรไลซ์ในสถานะแก๊สค่ายพลังงานประมาณ 40–43 kcal/mol สำหรับระเบียบวิธีเดนชิตี้ฟังก์ชันนัล โดยขั้นตอนย่อย จากไตรอะซิตินเป็นไดอะซิตินคายพลังงานมากกว่าขั้นตอนย่อยให้อะซิตินเป็นโนโนอะซิติน และ ขั้นตอนย่อยโมโนโนอะซิตินเป็นกลีเซอไรด์ ตามลำดับ โดยขั้นตอนการสลายไตรอะซิตินเป็นไดอะซิติน ควรเลือกเกิดที่ตำแหน่งกลางของหมู่กลีเซอโรล ขณะที่ขั้นตอนจากไดอะซิติน เป็นโนโนอะซิตินควรเลือกเกิดปฏิกิริยาที่ตำแหน่งกลาง เช่นเดียวกัน พบว่า ระเบียบวิธีแบบจำลอง PM6 ให้ผลการทำนายแนวโน้มใกล้เคียงกับ B3LYP/6-31++G(d,p) ขณะที่การศึกษาระบบภาษาไทยได้แบบจำลองตัวทำละลาย CPCM มีการคายพลังงานประมาณ 26–29 kcal/mol และมีแนวโน้มการเลือกดำเนินร่องเดินทางที่ใกล้เคียงกับปฏิกิริยาในสถานะแก๊ส

คำสำคัญ: ระเบียบวิธีเดนชิตี้ฟังก์ชันนัล; ระเบียบวิธีแบบจำลองเชมิเอมพิริคัล; ไตรอะซิติน; ไฮโดรไลซ์; น้ำมัน

#### Abstract

The B3LYP/6-31++G(d,p) density functional theory and the recently developed RM1 and PM6 semiempirical models were used to investigate the alkaline hydrolysis of triacetin which is a model compound for triacylglycerols found in vegetable oil. The energies involved in each step of the hydrolysis including all possible pathways were calculated. From thermodynamics aspect, each step of the gas phase hydrolysis process releases the energy of about 40-43 kcal/mol when calculated with the B3LYP/6-31++G(d,p) method. The hydroxide anion prefers to hydrolyze triacetin at the middle position of the glycerol moiety. In the case of diacetin, the hydrolysis also occurs more favorably at the middle position. The results of PM6 semiempirical model qualitatively agrees well with those of B3LYP/6-31++G(d,p). When the solvent effect is included, the energies released in each step are reduced to 26-29 kcal/mol. The reaction pathways in the solution phase are similar to those in the gas phase.

**Keywords:** Density functional theory; Semiempirical model; Triacetin; Hydrolysis; Oil

## บทนำ

ไตรเอชิลกลีเซอไรด์เป็นสารกลุ่มเอสเทอโรที่เป็นองค์ประกอบหลักในไขมันและน้ำมัน มีการนำไตรเอชิลกลีเซอไรด์ไปปรับรูปเพื่อการใช้งาน เช่น ทำปฏิกิริยาทรานส์เอสเทอโรฟิเดชันโดยใช้เมಥานอลเกิดเป็นเมธอิลเอสเทอรอยกรดไขมัน (fatty acid methyl ester; FAME) เพื่อใช้เป็นน้ำมันใบโอดีเซล (Knothe et al., 2005) หรือ การทำปฏิกิริยาไขโตรไดอะลีซิสเพื่อเกิดเป็นกรดไขมันหรือเกลือของกรดไขมันเพื่อใช้เป็นสบู่ (Pinto et al., 2005)

ในการปฏิบัติ พบร่วมกันว่า ห้องปฏิบัติฯ ทรานส์เอสเทอโรฟิเดชันและไขโตรไดอะลีซิสที่เร่งโดยเบสของสารกลุ่มนี้ เกิดปฏิกิริยาอย่างรวดเร็วมาก และการศึกษาจนศาสตร์ของปฏิกิริยาทรานส์เอสเทอโรฟิเดชันโดยใช้เมಥานอล ของน้ำมันจากดอกทานตะวัน (Vicente et al., 2005) ซึ่งพิจารณาพบว่ากลไกเกิดขึ้นผ่านสามขั้นตอนย่อย คือ การเปลี่ยนจากไตรกลีเซอไรด์ (triglyceride, TG) เป็นไดกลีเซอไรด์ (diglyceride, DG) เป็นโมโนกลีเซอไรด์ (monoglyceride, MG) และเป็นกลีเซอรอล (glycerol, G) ตามลำดับ ในแต่ละขั้นตอนย่อยมีเมธอิลเอสเทอรอยกรดไขมันเกิดขึ้นหนึ่งโมเลกุล จากผลการศึกษาจนศาสตร์ของปฏิกิริยาดังกล่าว Vincente และคณะ (2005) ได้ทำการคำนวณค่าพลังงานกระตุ้น (activation energy) ของปฏิกิริยาในแต่ละขั้นตอน ซึ่งแนวโน้มที่พบ คือ ค่าพลังงานกระตุ้นมีค่าเพิ่มขึ้นตามลำดับดังนี้ ปฏิกิริยา  $TG \rightarrow DG <$  ปฏิกิริยา  $DG \rightarrow MG <$  ปฏิกิริยา  $MG \rightarrow G$

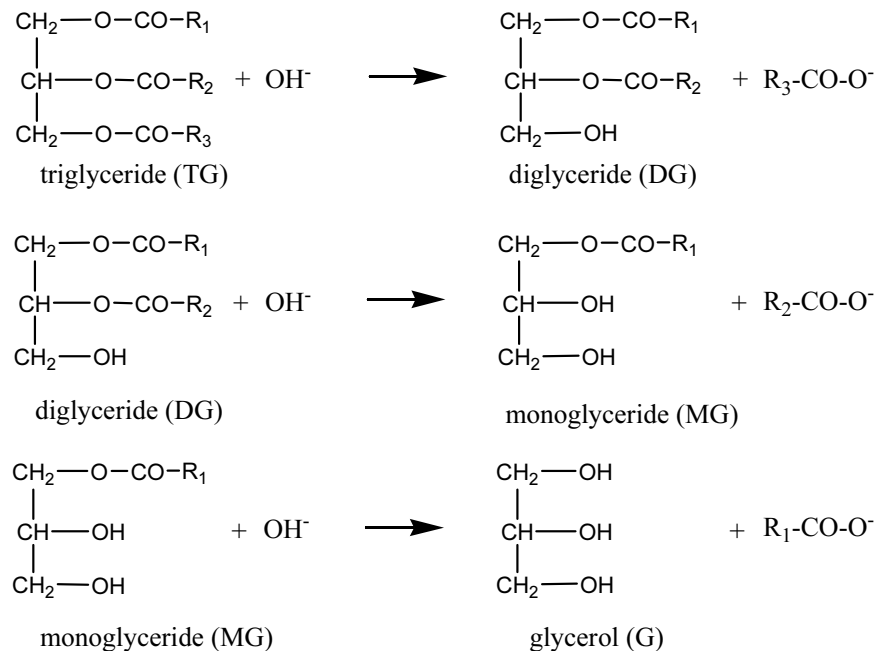
สังเกตว่ากลไกปฏิกิริยาอย่างที่เกิดขึ้นนั้นมีความซับซ้อนกว่าที่แสดงข้างต้น เนื่องจากแต่ละขั้นตอนย่อยมีโอกาสการเกิดผลิตภัณฑ์จากปฏิกิริยาทรานส์เอสเทอโรฟิเดชันได้ต่างกัน เช่น ขั้นตอนปฏิกิริยา  $TG \rightarrow DG$  อาจเกิดผลิตภัณฑ์ได้สามชนิด คือ  $CH_3OCOR_1$ ,  $CH_3OCOR_2$  และ  $CH_3OCOR_3$  ซึ่งผลิตภัณฑ์แต่ละชนิดเกิดจากกลไกเส้นทางปฏิกิริยา (reaction pathway) ที่ต่างกัน ซึ่งอาจมีค่าพลังงานกระตุ้นตลอดจนความเสถียรที่แตกต่างกัน ทางผู้วิจัยมีความสนใจศึกษาว่า การเกิดปฏิกิริยาในระดับโมเลกุล แต่ละขั้นตอนย่อยที่มีเส้นทางการเกิดปฏิกิริยาให้ผลิตภัณฑ์แตกต่างกันมีความแตกต่างอย่างไร โดยมีขอบเขตการศึกษาไม่พิจารณาปัจจัยจากการแพร่ของสารที่เกี่ยวข้องในปฏิกิริยา

ผู้วิจัยพิจารณาปฏิกิริยาไขโตรไดอะลีซิสโดยใช้เบส (alkaline hydrolysis) ซึ่งให้ผลิตภัณฑ์เป็นเกลือของกรดไขมันเนื่องจากปฏิกิริยามีความซับซ้อนน้อยกว่ากรณีทรานส์เอสเทอโรฟิเดชัน ในเบื้องต้นนี้ ได้พิจารณาโมเลกุลไตรอะซิติน (triacetin) ที่มีหมู่  $R_1=R_2=R_3=$  หมู่  $CH_3$  เป็นโมเลกุลต้นแบบ เพื่อความสะดวกในการคำนวณ และ เพื่อลดจำนวนกลไกย่อยที่ต้องพิจารณา ทางผู้วิจัยทำการคำนวณพลังงานของสารเสถียรที่เกี่ยวข้องในปฏิกิริยาโดยระเบียบวิธีเดนชิตี้ฟังก์ชันนัล (density functional theory) โดยวิธี B3LYP/6-31++G (d, p) และ ระเบียบวิธีแบบจำลองเชมิเอมพิริคัล (semiempirical model) RM1 (Rocha et al., 2006) และ PM6 (Stewart, 2007a) ซึ่งได้รับการพัฒนาขึ้นใหม่ในโปรแกรม mopac2007 (Stewart, 2007b) นอกจากนี้ผู้วิจัยได้พิจารณาผลของตัวทำละลายต่อปฏิกิริยาเพื่อเลียนแบบปฏิกิริยาที่เกิดขึ้นในรูปสารละลาย โดยทำการศึกษาโดยวิธี B3LYP/6-31++G (d, p) และใช้แบบจำลอง CPCM

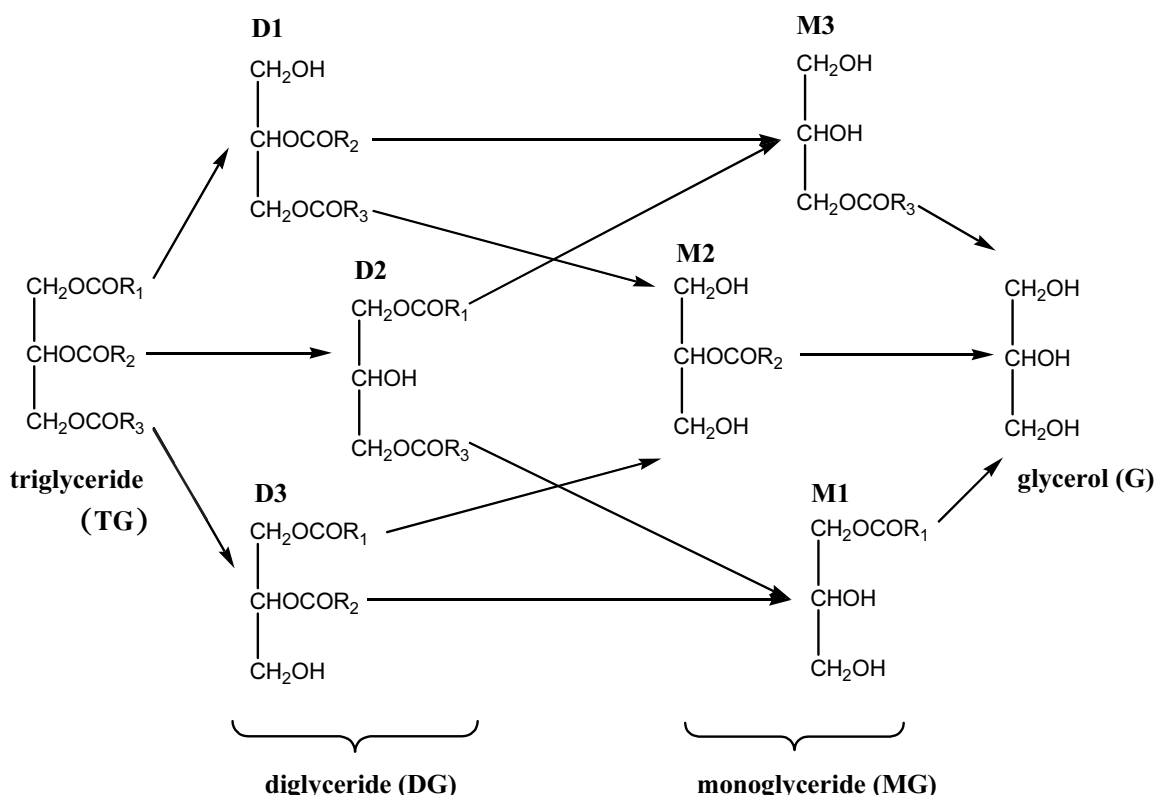
กลุ่มแรกที่ศึกษาระบวนการไขโตรไดอะลีซิสในโมเลกุลเอธิลอะซิเตทโดยไขดรอกไซด์ไอโอนอย่างเป็นระบบได้ศึกษากลไกการเกิดปฏิกิริยาในเชิงจนศาสตร์ โดยพิจารณาขั้นตอนย่อยของกลไกการเกิดปฏิกิริยาที่เกิดขึ้นในสถานะแก๊ส (Zhan et al., 2000a) และ ในสถานะสารละลายโดยใช้แบบจำลองตัวทำละลาย (Zhan et al., 2000b) การศึกษากลไกการเกิดทรานส์เอสเทอโรฟิเดชันระหว่าง อะซิเตท อีนอลेट (acetate enolate) กับแอกโอลอฮอล์ เพื่ออธิบายผลการทดลองเชิงจนศาสตร์ในสถานะแก๊ส (Chen & Braumann, 2005) โดยศึกษากลไกของปฏิกิริยาที่เกี่ยวข้อง รวมถึง ศึกษากลไกที่แข่งกันกับการเกิดทรานส์เอสเทอโรฟิเดชัน เช่น การถ่ายเทโปรตอน เป็นต้น

## วัสดุอุปกรณ์และวิธีการ

เนื่องจากโมเลกุลกลุ่มไตรเอชิลกลีเซอไรด์มีหมู่คาร์บอชิเลตที่เกิดการไขโตรไดอะลีซิสได้ 3 หมู่ ทำให้การเกิดไขโตรไดอะลีซิสด้วยไขดรอกไซด์จากไตรกลีเซอไรด์ จนสิ้นสุดเป็นกลีเซอรอลและเกลือของกรดไขมันมีปฏิกิริยาขั้นตอนย่อยเป็นดังนี้  $TG \rightarrow DG$ ,  $DG \rightarrow MG$  และ  $MG \rightarrow G$  ตามรูปที่ 1-2



รูปที่ 1 การเกิดไฮโดรไลซิสของไตรอีชีกลีเชอโรลโดยไอโอนไฮดรอกไซด์ และตามขั้นตอนย่อยของการเปลี่ยนแปลงจากไตรกลีเซอไรด์ เป็นไดกีลีเชอไรด์ เป็นโนมิโนกีลีเชอไรด์ และกลีเชอโรล ตามลำดับ กรณีของไตรอะซิตินที่ศึกษา หมู่  $\text{R}_1 = \text{R}_2 = \text{R}_3 = \text{หมู่ CH}_3$  โดยตำแหน่งที่เกิดปฏิกิริยาในขั้นตอนย่อยที่แสดงในรูปเป็นเพียงการยกตัวอย่างของปฏิกิริยาการเกิดไฮโดรไลซิส



รูปที่ 2 การจำแนกขั้นตอนย่อยและเส้นทางปฏิกิริยา y ที่เป็นไปได้และสารที่เกี่ยวข้องทั้งหมดของการเกิดไฮโดรไลซิสของไตรอะซิตินโดยไอโอนไฮดรอกไซด์ โดยกรณีไตรอะซิตินหมู่  $\text{R}_1 = \text{R}_2 = \text{R}_3 = \text{หมู่ CH}_3$

โดย D1, D2, D3 แทนไดกอเลเชอร์ที่หมู่ R<sub>1</sub>, R<sub>2</sub>, R<sub>3</sub> ถูกไฮโดรไลซ์ตามลำดับ ส่วน M1, M2, M3 แทนโมโนกอเลเชอร์ที่มียังคงมีหมู่ R<sub>1</sub>, R<sub>2</sub>, R<sub>3</sub> ตามลำดับ เราเขียนแทนเส้นทางปฏิกิริยาอยู่ด้วยสัญลักษณ์ สารตั้งต้น→ผลิตภัณฑ์ เช่น D1→M2 ซึ่งหมายถึง ไดกอเลเชอร์ที่หมู่ R<sub>1</sub> ถูกไฮโดรไลซ์ทำปฏิกิริยากับไฮดรอกไซด์ ให้ผลิตภัณฑ์ คือ R<sub>3</sub>-COO<sup>-</sup> และ โมโนกอเลเชอร์ที่มีหมู่ R<sub>2</sub> เป็นต้น และในกรณีของโมเลกุลไตรอะซิตินที่ศึกษานั้น หมู่ R<sub>1</sub>=R<sub>2</sub>=R<sub>3</sub> = หมู่ CH<sub>3</sub>

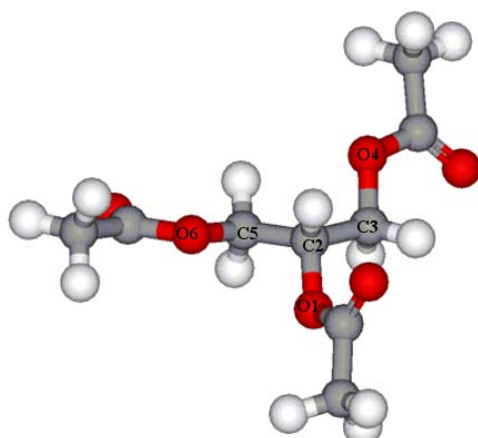
ผู้จัดคำนวณหาโครงสร้างที่เสถียรที่สุดของสปีชีส์ที่เกี่ยวข้อง ด้วยระเบียบวิธีเดนชิตี้ฟังก์ชันนัล ที่ใช้ ฟังก์ชันนัลเอกซ์-เชนจ์-คอร์เรชัน (exchange-correlation functional) ชนิด B3LYP ร่วมกับเบสิทเซต (basis set) 6-31++G(d,p) และระเบียบวิธีแบบจำลองเซมิเอมพิริคัล RM1 และ PM6 หลังจากได้โครงสร้างเสถียรที่สุดแล้ว ผู้จัดทำการคำนวณความถี่ของการสั่น เพื่อทดสอบการเป็นโครงสร้างเสถียรซึ่งความถี่ความถี่ของการสั่นทั้งหมด เป็นนาว จากนั้นทำการคำนวณพลังงานของสปีชีส์และพลังงานที่เกี่ยวข้องกับกลไกการเกิดปฏิกิริยาตามเส้นทางต่างๆ โดยในระเบียบวิธีเดนชิตี้ฟังก์ชันนัล พลังงานที่รายงานเป็นผลรวมของพลังงานอิเลคโทรนิกส์และพลังงาน การสั่นชีโรพอยท์ (zero-point vibrational energy) ที่อุณหภูมิ 0 เคลวิน ขณะที่แบบจำลอง RM1 และ PM6 รายงานค่าพลังงานในรูปค่าความร้อนการเกิดสาร (heat of formation) ที่อุณหภูมิ 298 เคลวิน

นอกจากการคำนวณในสถานะแก๊ส ทางผู้จัดใช้แบบจำลองตัวทำละลาย CPCM ที่ปรับปรุงโดย Barone และคณะ (1997) เพื่อพิจารณาผลของปฏิกิริยาในตัวทำละลายน้ำ โดยพิจารณาเฉพาะกรณีของระเบียบ วิธีเดนชิตี้ฟังก์ชันนัล เท่านั้น ในกรณีแบบจำลอง CPCM พลังงานที่รายงานเป็นผลรวมของ พลังงานอิเลคโทรนิกส์ พลังงานการสั่นชีโรพอยท์ และ พลังงานโพลาไรเซชันของตัวทำละลาย

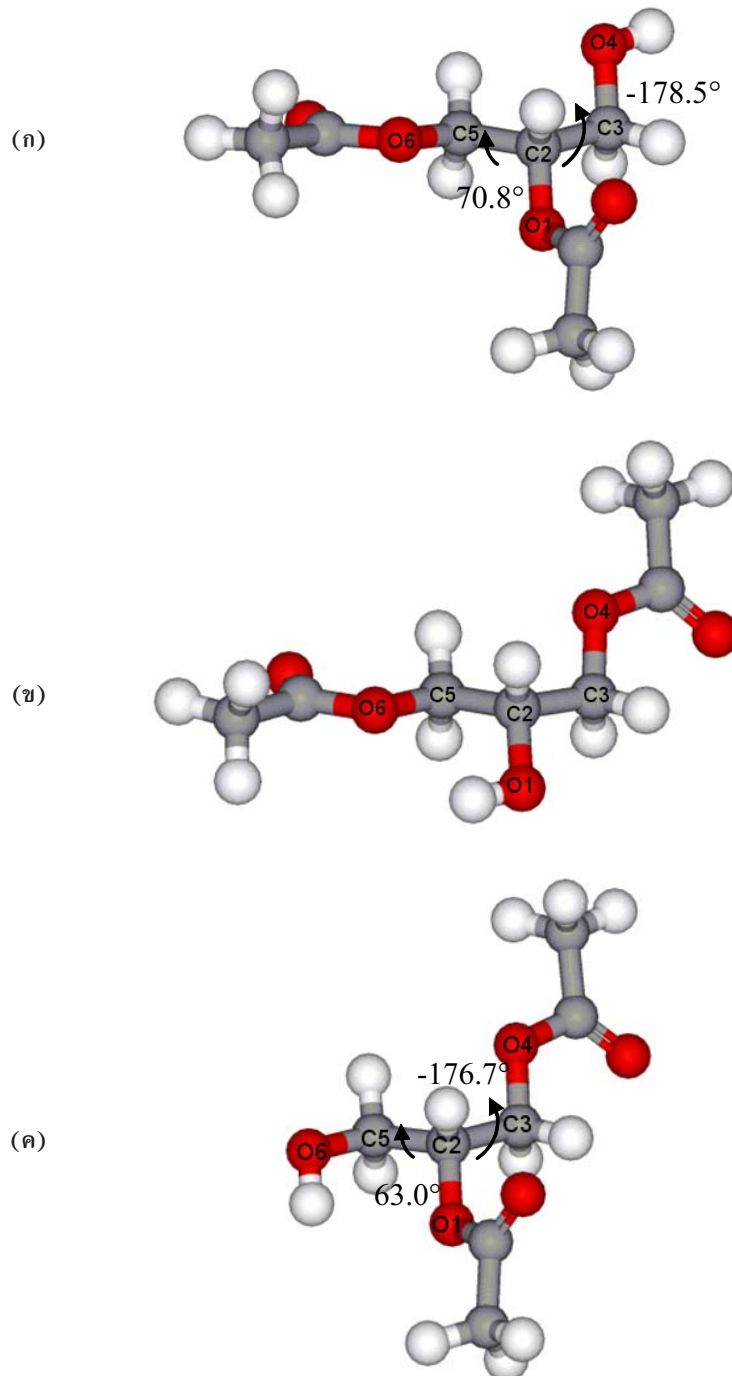
ทางผู้จัดใช้โปรแกรม Gaussian 03 (Frisch et al., 2004) สำหรับการคำนวณระเบียบวิธีเดนชิตี้ ฟังก์ชันนัล และโปรแกรม Mopac2007 (Stewart, 2007b) สำหรับการคำนวณระเบียบวิธี RM1 และ PM6

### ผลการศึกษาและอภิปรายผลการศึกษา

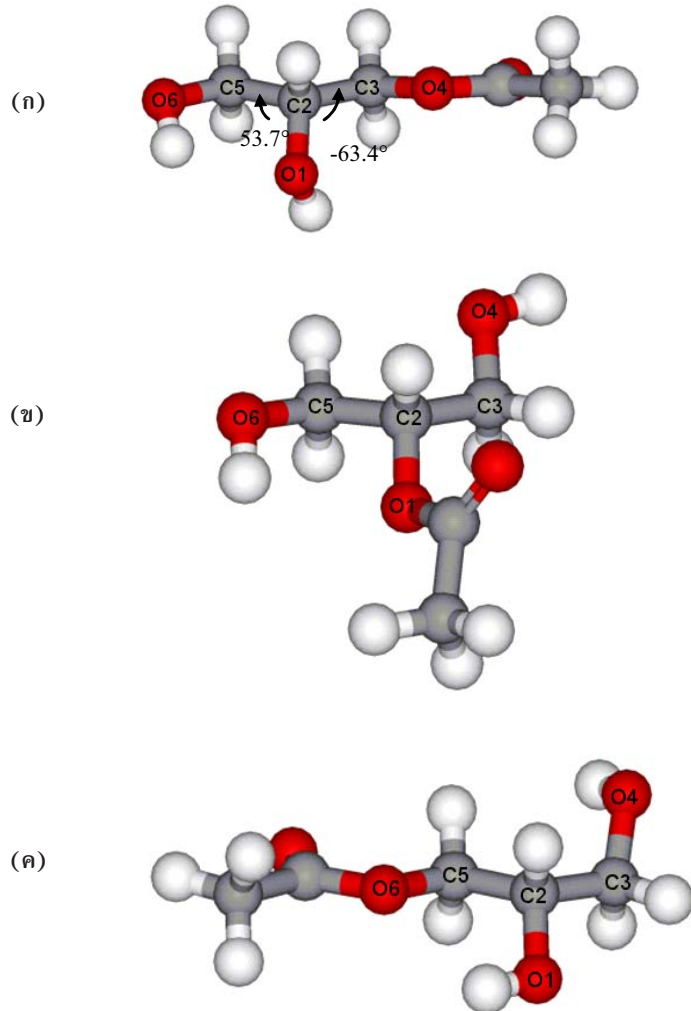
รูปที่ 3-5 แสดงโครงสร้างที่ได้จากการหาโครงสร้างเสถียรที่สุดของโมเลกุลไตรอะซิติน ไดอะซิติน และโมโนอะซิติน ตามลำดับ หากพิจารณาหมุนไดเอียร์ล (dihedral angle) แสดงการบิดตัวของกลุ่มอะตอม ที่ยึดกับคาร์บอนของส่วนกอเลเชอรอล โดยนิยามผ่านการทำมุมไดเอียร์ลของอะตอม O ตำแหน่งด้านข้างเทียบ กับอะตอม O ตำแหน่งกลางของส่วนกอเลเชอรอลในโมเลกุลไตรอะซิติน พบว่า หมู่ O-COCH<sub>3</sub> ทั้งสองข้าง ทำมุมไดเอียร์ลกับอะตอม O ของหมู่กลางแตกต่างกัน โดยมีค่ามุมไดเอียร์ล O1-C2-C3-O4 เท่ากับ 175.5 และ O1-C2-C5-O6 เท่ากับ -70.5 องศา ตามลำดับ อาจกล่าวว่าโมเลกุลมีโครงรูปเป็นแบบทรานส์ (trans) และก็อช (gauche) ที่ตำแหน่งทั้งสองนี้ตามลำดับ



รูปที่ 3 โครงสร้างของไตรอะซิติน (TG) ที่ได้จากการคำนวณ B3LYP/6-31++G(d,p)



รูปที่ 4 โครงสร้างของไดอะซิติน (DG) ชนิด (ก) D1 (ข) D2 (ค) D3 ที่ได้จากการคำนวณ B3LYP/6-31++G(d,p)



รูปที่ 5 โครงสร้างของโมโนไอโซนันอัตติน (MG) ชนิด (ก) M1 (ข) M2 (ค) M3 ที่ได้จากการคำนวณ B3LYP/6-31++G(d,p)

เมื่อเกิดไฮโดรไลซิส พบร่วมกับ ไดอะซิตินและโมโนอะซิตินมีโครงสร้างที่มุ่งไดเอียร์ลไม่ต่างจากเดิมมากนักยกเว้นกรณี M1 ที่มีค่ามุ่งไดเอียร์ลแสดงการเป็นโครงรูปแบบก็อช (gauche conformer)

ตารางที่ 1 แสดงผลลัพธ์ของปฏิกิริยาการเกิดไฮโดรไลซิส สำหรับแต่ละขั้นตอนย่อย โดยพิจารณาแต่ละเส้นทางปฏิกิริยาอย่างต่างๆ ดังรูปที่ 2 ผลคำนวณในสถานะแก๊สที่ระดับ RM1, PM6 และ B3LYP/6-31++G (d, p) ให้ค่าพลังงานของปฏิกิริยาเป็นลบ ประมาณ -60-63, -48-50 และ -40-43 kcal/mol ตามลำดับ ค่าพลังงานจากระเบียบวิธี RM1 แตกต่างอย่างมากจากค่าที่ได้จากระเบียบวิธี PM6 และ B3LYP/6-31++G (d, p) นอกจากนี้ค่าพลังงานของปฏิกิริยาต่ำสุดในแต่ละขั้นตอนย่อยที่คำนวณจากระเบียบวิธี RM1 มีแนวโน้มแตกต่างอย่างมากจากกรณีที่คำนวณด้วยระเบียบวิธี PM6 และ B3LYP/6-31++G (d, p) ซึ่งค่าพลังงานจากระเบียบวิธี B3LYP/6-31++G (d, p) ควรเป็นค่ามาตรฐานที่ใช้เพื่อเปรียบเทียบคุณภาพของแบบจำลอง เชมิโเอมพิริคัลได้ เพราะไม่มีการประมาณอินทิกรัล ดังนั้น ระเบียบวิธีแบบจำลอง PM6 จึงควรมีความถูกต้องมากกว่าระเบียบวิธี RM1

เมื่อเกิดการไฮโดรไลซิสของไตรอะซิตินด้วยไฮดรอกไซด์ ผลทางเเทอร์โมไดนามิกส์ของปฏิกิริยา ซึ่งพิจารณาจากค่าพลังงานของปฏิกิริยาในตารางที่ 1 และ ตารางที่ 2 เสนอว่า ปฏิกิริยามีแนวโน้มเลือกเกิดที่หมู่  $O-CO-CH_3$  ณ ตำแหน่งกลางของกลีเซอรอลมากกว่าด้านข้าง ซึ่งควรดำเนินไปเพื่อลดผลทางสเตรติก (steric effect) ของหมู่ที่อยู่ใกล้เคียงกัน ส่วนพลังงานของการไฮโดรไลซิสที่ตัวแทนด้านข้างของเส้นทางปฏิกิริยาอยู่  $TG \rightarrow D1$

และ  $TG \rightarrow D3$  มีค่าแตกต่างกันเล็กน้อย โดยเส้นทางปฏิกิริยาอยู่  $TG \rightarrow D3$  มีพลังงานต่ำกว่าเล็กน้อยเนื่องจากเป็นการเกิดไฮโดรไลซิสกำจัดกลุ่ม  $CO-CH_3$  ที่ก่อขึ้นด้วยกันที่ตำแหน่งกลาง

ตารางที่ 1 พลังงานของปฏิกิริยาในแต่ละเส้นทางปฏิกิริยาอยู่ทั้งหมด จำแนกกลุ่มตามขั้นตอนย่อยของการเกิดไฮโดรไลซิสในสถานะแก๊ส คำนวณโดยระเบียบวิธี RM1, PM6 และ B3LYP/6-31++G (d,p) เส้นทางการเกิดปฏิกิริยาอยู่นิยามดังแสดงในรูปที่ 2

เส้นทางปฏิกิริยาอยู่	พลังงานของปฏิกิริยา (kcal/mol)		
	RM1	PM6	B3LYP/6-31++G (d,p)
<b>ขั้นตอนย่อย <math>TG \rightarrow DG</math></b>			
$TG \rightarrow D1$	-63.11	-48.98	-41.38
$TG \rightarrow D2$	-63.41	-50.46	-43.38
$TG \rightarrow D3$	-63.69	-49.59	-41.99
<b>ขั้นตอนย่อย <math>DG \rightarrow MG</math></b>			
$D1 \rightarrow M2$	-63.79	-49.11	-41.77
$D1 \rightarrow M3$	-62.54	-50.51	-42.58
$D2 \rightarrow M1$	-63.32	-48.00	-40.35
$D2 \rightarrow M3$	-62.24	-49.03	-40.58
$D3 \rightarrow M1$	-63.04	-48.87	-41.74
$D3 \rightarrow M2$	-63.20	-48.51	-41.17
<b>ขั้นตอนย่อย <math>MG \rightarrow G</math></b>			
$M1 \rightarrow G$	-61.99	-47.76	-40.96
$M2 \rightarrow G$	-61.83	-48.12	-41.53
$M3 \rightarrow G$	-63.07	-46.73	-40.72

ตารางที่ 2 พลังงานของปฏิกิริยาในแต่ละเส้นทางปฏิกิริยาอยู่ทั้งหมด จำแนกกลุ่มตามขั้นตอนย่อยของการเกิดไฮโดรไลซิสในสถานะแก๊ส และสถานะสารละลายน้ำจำลองแบบด้วย CPCM คำนวณโดยระเบียบวิธี B3LYP/6-31++G (d,p)

ขั้นตอนของปฏิกิริยา	พลังงานของปฏิกิริยา (kcal/mol)	
	สถานะแก๊ส	สถานะสารละลายน้ำ
<b>ขั้นตอนย่อย <math>TG \rightarrow DG</math></b>		
$TG \rightarrow D1$	-41.38	-27.45
$TG \rightarrow D2$	-43.38	-28.97
$TG \rightarrow D3$	-41.99	-27.21
<b>ขั้นตอนย่อย <math>DG \rightarrow MG</math></b>		
$D1 \rightarrow M2$	-41.77	-26.93
$D1 \rightarrow M3$	-42.58	-27.94
$D2 \rightarrow M1$	-40.35	-26.61
$D2 \rightarrow M3$	-40.58	-26.42
$D3 \rightarrow M1$	-41.74	-28.37
$D3 \rightarrow M2$	-41.17	-27.17
<b>ขั้นตอนย่อย <math>MG \rightarrow G</math></b>		
$M1 \rightarrow G$	-40.96	-26.23
$M2 \rightarrow G$	-41.53	-27.43
$M3 \rightarrow G$	-40.72	-26.41

ขั้นตอนการเกิดไฮโดรไอลิซของไดอะซิตินเป็นโนโนอะซิตินมีหกเส้นทางปฏิกิริยาอยู่ที่เป็นไปได้สำหรับเส้นทางปฏิกิริยาอยู่ที่เริ่มต้นด้วยไดอะซิตินตัวเดียวกัน ระเบียบวิธี PM6 ทำนายเส้นทางปฏิกิริยาอยู่ที่มีพลังงานต่ำกว่าสอดคล้องกับระเบียบวิธี B3LYP มากกว่าระเบียบวิธี RM1 เมื่อพิจารณาเส้นทางปฏิกิริยาอยู่หั้งหกเส้นทางปฏิกิริยาอยู่  $D1 \rightarrow M3$  มีค่าต่ำสุดที่  $-42.58 \text{ kcal/mol}$  ซึ่งเป็นกระบวนการสูญเสียหมู่  $O-CO-CH_3$  จากตำแหน่งกลาง เช่นเดียวกับปฏิกิริยาการเกิดไฮโดรไอลิซของไตรอะซิตินเป็นไดอะซิติน ขณะที่การไฮโดรไอลิซของโนโนอะซิตินเป็นกลีเซอรอลให้ผลิตภัณฑ์ที่เหมือนกัน แต่เนื่องจากสารตั้งต้นมีพลังงานแตกต่างกัน ค่าพลังงานของปฏิกิริยาจะมีค่าแตกต่างกัน จากข้อมูลของขั้นตอนนี้ทำให้ทราบว่า  $M2$  เสถียรน้อยกว่า  $M1$  และ  $M3$  เนื่องจากมีพลังงานของปฏิกิริยา  $M2 \rightarrow G$  ต่ำที่สุด ซึ่งสอดคล้องกับแนวโน้มของปฏิกิริยาที่เลือกกำจัดหมู่  $O-CO-CH_3$  จากตำแหน่งกลาง หากพิจารณาพลังงานของปฏิกิริยาในขั้นตอนอยู่  $TG \rightarrow DG$ ,  $DG \rightarrow MG$  และ  $MG \rightarrow G$  เมื่อเรียงลำดับขั้นตอนการเกิดไฮโดรไอลิซที่คายพลังงานมากที่สุดจนถึงต่ำที่สุดได้แก่  $TG \rightarrow DG > DG \rightarrow MG > MG \rightarrow G$  ตามลำดับ โดยเส้นทางปฏิกิริยาอยู่ของการเกิดไฮโดรไอลิซของไตรอะซิตินเป็นกลีเซอรอล ซึ่งคายพลังงานมากที่สุด เป็นดังนี้  $TG \rightarrow D2$ ,  $D1 \rightarrow M3$  และ  $M2 \rightarrow G$

เมื่อพิจารณาเติมผลของตัวทำละลายน้ำโดยใช้แบบจำลอง CPCPM พลังงานของปฏิกิริยา มีค่าลดลงมาก จากช่วง  $40-43 \text{ kcal/mol}$  เหลือเพียง  $26-28 \text{ kcal/mol}$  (ดังตารางที่ 2) ซึ่งคาดว่าเกิดจากการที่ปฏิกิริยา มีไอออนเกี่ยวข้อง ทำให้อ่อนเสถียรเพิ่มขึ้นจากการล้อมรอบของตัวทำละลาย โดยพบว่าผลที่ได้จากการพิจารณา ตัวทำละลาย มีแนวโน้มเชิงคุณภาพเหมือนกับผลคำนวณในสถานะแก๊ส

## สรุปผลการศึกษา

แต่ละขั้นตอนอยู่ของปฏิกิริยาไฮโดรไอลิซในสถานะแก๊ส มีการคายพลังงานอยู่ในช่วง  $40-43 \text{ kcal/mol}$  เมื่อคำนวณด้วยระเบียบวิธีเดนชิตี้ฟังก์ชันนัล โดยแต่ละขั้นตอนมีเส้นทางการเกิดปฏิกิริยาอยู่ที่ต่างกัน เมื่อพิจารณา จากราคาปัจจัยทางเเทอร์โมไดนามิกส์โดยเปรียบเทียบค่าพลังงานของปฏิกิริยา พบว่า ไฮดรอกไซด์ไอออนมีแนวโน้ม เลือกทำปฏิกิริยาไฮโดรไอลิซกับหมู่  $-CO-CH_3$  ของไตรอะซิตินที่ตำแหน่งกลางของส่วนกลีเซอรอล โดยคาดว่า เพื่อเป็นการลดผลทางสัมภาระ ซึ่งการเกิดไฮโดรไอลิซของไดอะซิตินเกิดขึ้นที่ตำแหน่งกลาง เช่นเดียวกัน ผลการคำนวณบ่งชี้ว่า ตำแหน่งด้านข้างของไตรอะซิตินไม่ได้เท่าเทียมกันอย่างแท้จริง เนื่องจาก มันทำมุ่นได้ชีรัล กับตำแหน่งกลางแตกต่างกัน เมื่อศึกษาผลทำนายที่ได้จากการแบบจำลองเชมิโอมพิริคัล แบบจำลอง RM1 และ PM6 ให้ผลที่แตกต่างกันทั้งในแง่พลังงาน ค่าความร้อนการเกิดสาร และ แนวโน้มของการเกิดปฏิกิริยาในเส้นทางปฏิกิริยาอยู่แบบจำลอง PM6 ให้แนวโน้มของการเกิดปฏิกิริยาในเชิงคุณภาพใกล้เคียงกับผลการคำนวณโดยระเบียบ วิธี B3LYP/6-31++G (d, p) ขณะที่ แบบจำลอง RM1 ให้แนวโน้มที่แตกต่างไป ผลของแบบจำลองตัวทำละลาย CPCPM ทำให้พลังงานของปฏิกิริยา มีขนาดลดลงจากช่วง  $40-43 \text{ kcal/mol}$  เป็น  $26-28 \text{ kcal/mol}$  โดยมีแนวโน้ม การเกิดปฏิกิริยาในเส้นทางอยู่ที่เหมือนกัน ทำให้เราอาจศึกษาปฏิกิริยาการเกิดไฮโดรไอลิซนี้ในสถานะแก๊สได้ ค่าพลังงานของปฏิกิริยาที่รายงานเป็นปัจจัยเชิงเเทอร์โมไดนามิกส์ด้านพลังงาน ซึ่งการมีค่าลงมากแสดงถึง แนวโน้มการเกิดได้เองของปฏิกิริยา และหากพิจารณาปัจจัยเชิงเอนโทรปี สังเกตว่าการเกิดไฮโดรไอลิซทำให้เกิด การแยกตัวของโมเลกุลใหญ่ ซึ่งการเปลี่ยนแปลงเอนโทรปีของปฏิกิริยาควรเป็นค่าวาก ทำให้สรุปได้ว่า ปฏิกิริยา ไฮโดรไอลิซของไตรอะซิตินควรเกิดได้เอง เมื่อพิจารณาปัจจัยทางเเทอร์โมไดนามิกส์ โดยไฮดรอกไซด์มีแนวโน้ม ในการเลือกเข้าทำปฏิกิริยาที่ตำแหน่งกลางของสารกลุ่มอะซิตินในทุกขั้นตอน แม้ว่าพลังงานของปฏิกิริยาของเส้นทาง ปฏิกิริยาอยู่ที่มีสารตั้งต้นชนิดเดียวกันจะมีขนาดใกล้เคียงกันก็ตาม และ ผลการคำนวณโดยระเบียบวิธีเชมิโอมพิริคัล PM6 ให้การทำนายที่สอดคล้องกับระเบียบวิธี B3LYP/6-31++G (d, p) และ การคำนวณปฏิกิริยาไฮโดรไอลิซ ในสถานะแก๊สให้ผลทำนายเชิงคุณภาพ เช่นเดียวกับการทำนายในตัวทำละลาย CPCPM

## กิติกรรมประกาศ

งานวิจัยนี้ได้รับการสนับสนุนจากทุนวิจัยโครงการพัฒนาทางวิชาการจากสภาพวิจัยแห่งชาติ (หัวหน้าโครงการ รศ.ดร.อุดมคิลป์ ปั่นสุข จุฬาลงกรณ์มหาวิทยาลัย) ทุนอุดหนุนการวิจัยจากงบประมาณรายได้ คณะวิทยาศาสตร์ มหาวิทยาลัยนเรศวร และ ศูนย์นวัตกรรมทางเคมี: โครงการพัฒนาบัณฑิตศึกษาและการวิจัยทางเคมี (PERCH-CIC) สำนักงานคณะกรรมการการอุดมศึกษา กระทรวงศึกษาธิการ นายทวีธรรมา ลิมปานุภาพ ขอขอบคุณทุนสนับสนุน จากโครงการพัฒนาอัจฉริยภาพทางวิทยาศาสตร์และเทคโนโลยีสำหรับเด็กและเยาวชน (JSTP) สำนักงานพัฒนาวิทยาศาสตร์และเทคโนโลยีแห่งชาติ และโครงการพัฒนาส่งเสริมผู้มีความสามารถพิเศษทางวิทยาศาสตร์และเทคโนโลยี (โครงการ พสวท.)

## เอกสารอ้างอิง

- Barone, V., Cossi, M., & Tomasi, J. (1997). A new definition of cavities for the computation of solvation free energies by the polarizable continuum model. *The Journal of Chemical Physics*, 107, 3210–3221.
- Chen, X., & Brauman, J. I. (2005). Proton exchange and transesterification reactions of acetate enolates with alcohols in the gas phase. *The Journal of Physical Chemistry A*, 109, 8553–8559.
- Frisch, M. J. G., Trucks, W., Schlegel, H. B., Scuseria, G. E., Robb, M. A., Cheeseman, J. R., et al. (2004). *Gaussian 03, revision b.7*. Wallingford, CT: Gaussian, Inc.
- Knothe, G., Van Gerpen, J., & Krahl, J. (2005). *The biodiesel handbook*. Illinois, USA: AOCS, Press.
- Pinto, A. C., Guarieliro, L. L. N., Rezende, M. J. C., Ribeiro, N. M., Torres, E. A., Lopes, W. A., et al. (2005). Biodiesel: An overview. *Journal of the Brazilian Chemical Society*, 16, 1313–1330.
- Rocha, G. B., Freire, R. O., Simas, A. M., & Stewart, J. J. P. (2006). RM1: A reparameterization of AM1 for H, C, N, O, P, S, F, Cl, Br, and I. *Journal of Computational Chemistry*, 27, 1101–1110.
- Stewart, J. J. P. (2007a). Feature of pm6 in mopac2007. Retrieved Jan 15, 2007, from <http://openmopac.net>
- Stewart, J. J. P. (2007b). Feature in mopac2007. Retrieved Jan 15, 2007, from <http://openmopac.net>
- Vicente, G., Martinez, M., Aracil, J., & Esteban, A. (2005). Kinetics of sunflower oil methanolysis. *Industrial and Engineering Chemistry Research*, 44, 5447–5454.
- Zhan, C.-G., Landry, D. W., & Ornstein, R. L. (2000a). Theoretical studies of fundamental pathways for alkaline hydrolysis of carboxylic acid esters in gas phase. *Journal of the American Chemical Society*, 122, 1522–1530.
- Zhan, C.-G., Landry, D. W., & Ornstein, R. L. (2000b). Reaction pathways and energy barriers for alkaline hydrolysis of carboxylic acid esters in water studied by a hybrid supermolecule polarizable continuum approach. *Journal of the American Chemical Society*, 122, 2621–2627.